

## СПИНОВАЯ ВОСПРИИМЧИВОСТЬ НЕУПОРЯДОЧЕННЫХ ФЕРМИ СИСТЕМ

Б.Л.Альтшулер, А.Г.Аронов, А.Ю.Зюзин

Рассматривается влияние взаимодействия в неупорядоченной ферми-системе на спиновую восприимчивость. Показано, что восприимчивость имеет корневую и логарифмическую зависимость от температуры и величины магнитного поля соответственно в трех- и двумерном случае.

Взаимодействие электронов между собой в неупорядоченных системах приводит к аномалии в плотности состояний на уровне Ферми, к особенностям в кинетических коэффициентах [ 1, 2 ] как в трех-, так и в двумерных системах [ 3 ]. В [ 2 ] было показано, что и термодинамические величины, такие как теплоемкость и магнитная восприимчивость должны иметь аномальные температурные зависимости, связанные с интерференцией взаимодействия между электронами и упругим рассеянием. В двумерном случае спиновая восприимчивость изучалась в работе [ 4 ], в которой была получена логарифмическая зависимость от температуры. В [ 5 ] в двумерном случае изучалась скорость ядерной спиновой релаксации, которая пропорциональна одноточечной корреляционной функции спинов электронов и были получены логарифмические поправки. Настоящая работа посвящена исследованию полевых и температурных зависимостей восприимчивости как в трех-, так и в двумерных ферми-системах. При этом предполагается, что выполнено условие  $p_F l \gg 1$ , где  $l = v_F \tau$  длина свободного пробега ( $\hbar \equiv 1$ ).

Сингулярные вклады в температурные и полевые зависимости восприимчивости возникают от диаграмм  $a - b$  (см. рис), учитывающих взаимодействие между электронами из разных спиновых подзон. Они получаются из хартриевской поправки к плотности состояний. Взаимодействие же электронов из одной спиновой подзоны меняет одинаковым образом плотность состояний в каждой подзоне и поэтому не меняет величину суммарной спиновой поляризации. На рисунках  $a$  и  $b$  волнистой линии сопоставляется экранированное кулоновское взаимодействие [ 1, 3 ], а полевой вершине соответствует величина  $g \mu_B \sigma_z$ , где  $\sigma_z$  - матрица Паули,  $\mu_B$  - магнетон Бора,  $g$  -  $g$ -фактор электрона проводимости.

Каждая из диаграмм в зависимости от относительного направления электронных функций Грина в разных петлях описывает как диффузионный вклад (с малым разнестным импульсом), так и куперовский вклад (с малым суммарным импульсом). И поэтому на рисунке мы не обозначаем направления функции Грина.

В модели кулоновского ферми-газа с однородным компенсирующим зарядом хартриевские диаграммы сокращаются в силу условия электронейтральности. В неупорядоченном ферми-газе электронейтральность нарушена в областях размером меньше или порядка  $l$ , и восстанавливается в областях больших  $l$ . Поэтому основной вклад в хартриевские диаграммы дает область импульсов  $kl > 1$ .

На рис.  $b$  показано уравнение для диффузора в триплетном состоянии. В области  $\omega_m \tau \ll 1$ ,  $Dq^2 \tau \ll 1$ ,  $g \mu_B H \tau \ll 1$  уравнение имеет вид

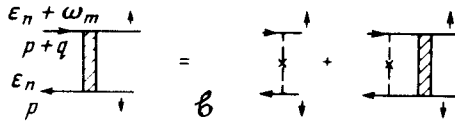
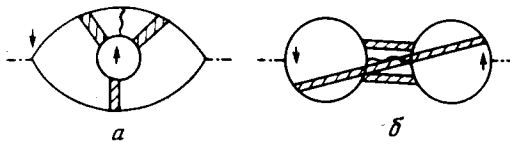
$$(|\omega_m| - D \nabla_r^2 + i \omega_s \text{sign } \omega_m) D(\mathbf{r}, \mathbf{r}', \omega_m \epsilon_n) = \frac{1}{2\pi \nu_0 \tau^2} \theta[-\epsilon_n (\epsilon_n + \omega_m)] \delta(\mathbf{r} - \mathbf{r}'),$$

где  $\nu_0$  - односпиновая плотность состояний,  $\omega_s = g \mu_B H$ ,  $D$  - коэффициент диффузии.

Уравнение для куперона  $C(\mathbf{r}\mathbf{r}', \omega_m \epsilon_n)$  имеет аналогичный вид, однако  $-i \nabla_r$  должен быть заменен в магнитном поле на  $-i \nabla_r - \frac{r e}{c} \mathbf{A}$  [ 6 ]. Соответствующая характеристная частота в магнитном поле  $\omega_H = \frac{4D|e|H}{c} \gg \omega_s$ . Подробные расчеты будут опубликованы отдельно.

Здесь же приведем окончательные результаты.

Рассмотрим отдельно куперовский  $\delta \chi_c$  и диффузионный  $\delta \chi_d$  вклады в трехмерном случае.



В области слабых магнитных полей  $\omega_H/T < 1$ , но  $T\tau \ll 1$  куперовский и диффузионный вклады равны между собой

$$\delta\chi_c = \delta\chi_d = \frac{(g\mu_B)^2 T^{1/2}}{2\sqrt{2}\pi^2 D^{3/2}} F\left(\frac{\kappa}{2p_F}\right) \int_0^\infty \frac{dx}{x^{1/2}} \frac{d}{dx} \frac{x}{e^x - 1},$$

где  $F(y) = y^2 \ln\left(1 + \frac{1}{y^2}\right)$ .  $\kappa$  – обратная длина экранирования.

В области полей  $\omega_H/T \ll 1$  куперовский вклад выходит на асимптотику

$$\delta\chi_c = -\frac{3}{8\pi^2} \frac{(g\mu_B)^2}{D^{3/2}} \omega_H^{1/2} \int_0^\infty dx x^{1/2} \frac{d}{dx} x^{3/2} \zeta\left(5/2, \frac{1}{2} + x\right) \quad (1)$$

$\zeta(u, v)$  – обобщенная дзета-функция. Диффузионный вклад в восприимчивость выходит на асимптотику  $H^{1/2}$  существенно позже, в полях  $\omega_s/T \ll 1$ , где он имеет вид

$$\delta\chi_d = -\frac{(g\mu_B)^2 \omega_s^{1/2}}{2\sqrt{2}\pi^2 D^{3/2}} F\left(\frac{\kappa}{2p_F}\right). \quad (2)$$

Поэтому при  $\omega_s/T \gg 1$  магнитная восприимчивость пропорциональна  $H^{1/2}$  и равна сумме вкладов, определяемых (1) и (2).

В двумерном случае в перпендикулярном магнитном поле также можно выделить диффузионный и куперовский вклады:

$$\delta\chi_d = -\frac{(g\mu_B)^2}{2\pi^2 D} F \begin{cases} \ln \tau \omega_s & \omega_s/T \gg 1, & \tau \omega_s \ll 1 \\ \ln \tau T & \omega_s/T \ll 1, & \tau \omega_s \ll 1 \end{cases}, \quad (3)$$

$$\delta\chi_c = -\frac{(g\mu_B)^2}{2\pi^2 D} F \begin{cases} \ln \tau \omega_H & \omega_H/T \gg 1, & \tau \omega_H \ll 1 \\ \ln \tau T & \omega_H/T \ll 1, & \tau T \ll 1 \end{cases}$$

$$\text{где } F = \int_0^{2\pi} \frac{d\phi}{2\pi} \frac{1}{1 + \frac{2p_F}{\kappa} \sin \frac{\phi}{2}}.$$

Таким образом как в двумерном, так и в трехмерном случае магнитная восприимчивость при  $T\tau \ll 1$  падает с ростом температуры. Так как условие  $\omega_H/T > 1$  начинает выполняться значительно раньше, чем  $\omega_s/T > 1$ , то логарифмическая зависимость от величины магнитного поля в слабых полях определяется только куперовским вкладом. В сильных полях  $\omega_s/T > 1$  логариф-

мическая зависимость от поля также, как и в трехмерном случае определяется суммой куперовского и диффузионного вкладов. Выражение (3) при  $\omega_H/T \ll 1$  отличается от результата работы [4] знаком.

В заключение исследуем спиновую восприимчивость в неоднородном магнитном поле. Характерный размер диффузона можно оценить как  $r_d = \sqrt{D/T} = e/\sqrt{\tau T}$ , что при низких температурах  $\tau T \ll 1$  может достигать значительной величины. Ясно, что когда размер диффузона становится больше, чем характерный масштаб, на котором меняется магнитное поле, то зависимость восприимчивости от  $H$  и  $T$  должна исчезать.

В трехмерном случае в пределе  $Dk^2/T \gg 1$

$$\delta\chi(k) = - \frac{(g\mu_B)^2}{8\pi} F\left(\frac{k}{2p_F}\right) \frac{k}{D}.$$

Отметим, что восприимчивость зависит от модуля волнового вектора, т. е. отклик носит существенно нелокальный характер.

В двумерном случае при  $Dk^2/T \gg 1$

$$\delta\chi = - \frac{(g\mu_B)^2}{\pi^2 D} F \ln Dk^2 \tau.$$

#### Литература

1. Altshuler B.L., Aronov A.G. Sol. Stat. Com., 1979, 30, 115.
2. Альтшулер Б.Л., Аронов А.Г. ЖЭТФ, 1979, 77, 2028.
3. Altshuler B.L., Aronov A.G., Lee P.A. Phys. Rev. Lett., 1980, 44, 1288.
4. Fukuyama H. Препринт 1981; J. Phys. Soc. Jap. (в печати).
5. Altshuler B.L., Khmel'nitskii D.E., Larkin A.I., Lee P.A. Phys. Rev., 1980, B22, 5142.

Институт ядерной физики  
им. Б.П.Константинова  
Академии наук СССР  
Физико-технический институт  
им. А.Ф.Иоффе  
Академии наук СССР

Поступила в редакцию  
15 сентября 1981 г.  
После переработки  
10 ноября 1981 г.